

不飽和浸透流について(1)

広島大学工学部 正員 三島 隆明
 広島大学工学部 正員 金丸 昭治
 広島市 正員 ○谷本 武士

1. まえがき 雨水の流出機構を解明していくうえで、その浸透機構を適確に把握することは研究の重要な一課題である。実際の雨水流出現象においては、比較的流動層が薄い場合のように、土中の空気圧の変動を無視できる場合も少くないと考えられる。そこで、本研究ではこのように土中の空気圧の変動が無視できる場合の雨水の不飽和浸透機構について、理論的・実験的に明らかにしたのが本論文の結果を述べる。

2. 基礎方程式 流動層および水あるいは空気の運動は以下の仮定に従うものとする。
 ①流動層は均一である。
 ②土中の水および空気はなれど連続体を形成して接しており、Darcy則に従って流動する。
 ③雨水浸透中の土中空気圧はほぼ一定値になる。
 ④毛管圧は飽和度の一次関数で表される。このような仮定のもとで、層厚および土の透水係数を用いて無次元化した基礎方程式は、(1)式のように表される。ここでTは時間、Zは上方向に取った距離、 S_w は飽和度、Aは毛管高の無次元量を表す。

$$A \frac{\partial S_w}{\partial T} - A \frac{\partial S_w}{\partial Z} - \left(\frac{\partial S_w}{\partial Z} \right)^2 - S_w \frac{\partial^2 S_w}{\partial Z^2} = 0 \quad \dots \dots \dots (1) \quad S_w = \frac{C_2}{(T + C_1)^{1/3}} - \frac{\{ \sqrt{A}(Z + T) + C_3 \}^2}{6(T + C_1)} \quad \dots \dots \dots (2)$$

$$I = -Q = (S_{wu} - S_{we}) \left[1 + \sqrt{\frac{2}{3A} \left\{ \frac{C_2}{(T + C_1)^{1/3}} - \frac{S_{wu}}{T + C_1} \right\}} \right] \quad \dots \dots \dots (3)$$

非線形方程式である(1)式の解の一つとして、(2)式のような解が求められる。ここで、 C_1 , C_2 , C_3 は未知数であり、初期条件および境界条件を決まる係数であり、このようにした時の浸透能I(Z方向の流量Q)は(3)式のようになる。実際に、係数 C_1 , C_2 , C_3 を決定する条件としては様々な条件の与え方があるが、飽和度の上限を S_{wu} 、下限を S_{we} として、 $T = 0$, $Z = 0$ の時 $I = I_s$, $T = T_e$ の時 $I = S_{wu} - S_{we}$ と取るのが良いようである。

3. 実験装置および実験方法 実験装置は図1に示すように、下端に砂止網を取り付け下端を大気に開放した塩化ビニルパイプ(内径10cm、高さ215cm)に厚さ200cmまで、マサ土を間隙率が約36.3%になるように一様につめたものである。また、このパイプには飽和度測定用のステンレスボルトが5cm間隔に39組取り付けである。なお、使用したマサ土の透水係数は $1.23 \times 10^{-3} \text{ cm/s}$ 、比重は2.59、有効径は $1.56 \times 10^{-3} \text{ mm}$ 、均等係数は11.3であった。

各実験は、まず、所定の飽和度に調整したマサ土をパイプ内にセットし、砂層表面の湛水深を調節(湛水深=1cm)した本体に、定常化させた流量を給水装置から給水し、浸透量の変化を1分間隔で計測すると同時に、ステンレスボルト間の交差電圧の変化を10分間隔で計測して飽和度の変化を求めた。なお、飽和度は、各時刻の貯留量を用いて修正した。

4. 結果および考察 砂層の初期状態としては、様々な状態が考えられるが、この実験においては、比較的粗雑な状態(初期飽和度 $S_{wo} = 35\%$)に調整した試料と、風乾状態(初期飽和度 $S_{wo} = 5\%$)にした試料を用いて実験を行った。各実験の飽和度の時間的变化を

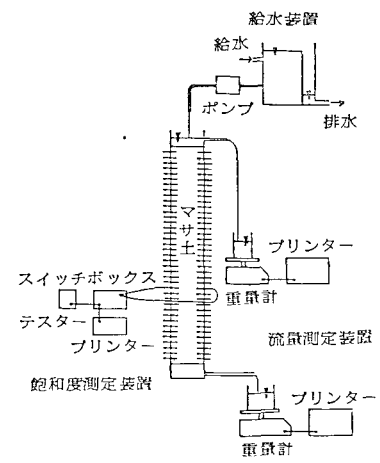


図1 実験装置

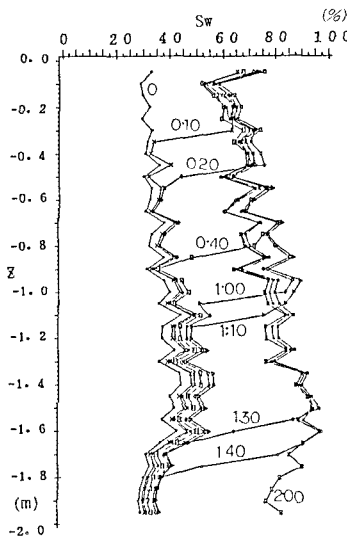
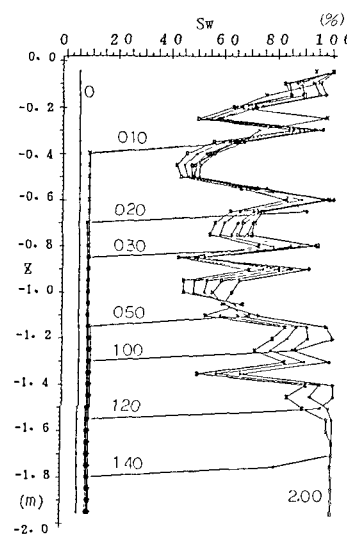
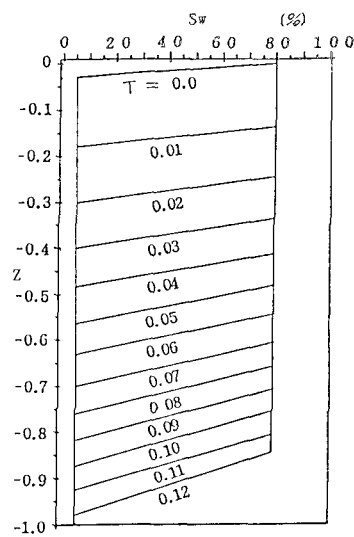
図2 鮫度の時間的変化($Sw_0 = 3.5\%$)図3 鮫度の時間的変化($Sw_0 = 5\%$)

図4 試算による鮫度の時間的変化

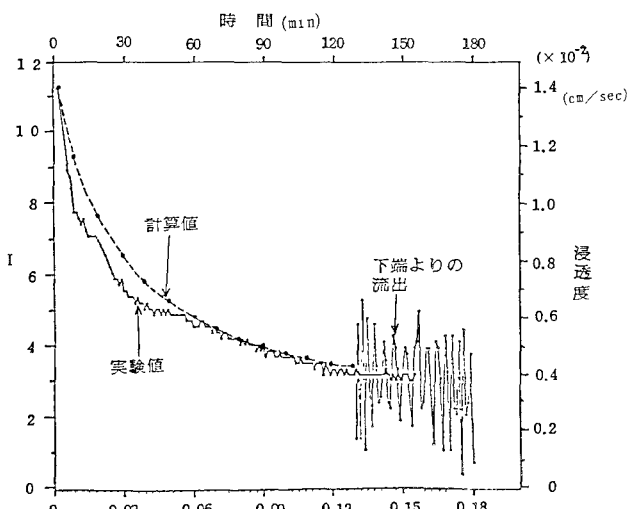
示したもののが図2および図3である。國からわかるように、浸透初期における飽和度分布に多少のちがいは見られるが、浸潤の様相に関しては初期の飽和度分布に関係なく、同様な変化をしこり、浸潤速度もほぼ同じ程度の値になつてゐる。

國4は $Sw_0 = 5\%$ に対応した試算値とし、前述のパラメータ値をそれぞれ、 $Sw_e = 0.05$ 、 $Sw_u = 0.8$ 、 $T_e = 30$ 、 $I_s = 13$ 、 $A = 1.5$ を採用して計算した結果である。國2あるいは國3と國4を比較してわかるように、 $t = 10\text{ min}$ が $T = 0.01$ に、 $t = 1h40\text{ min}$ が $T = 0.10$ に対応しておらず、両者の変化傾向はほぼ同じであるが、浸透が底面に近づくにつれて、分布の傾向に差が出てくる。この原因は、特に、

浸潤面が下端に近づいた状態では解析仮定③からはずれた状態、すなわち空気圧が変動するためと考えられる。

國5は國4に飽和度分布を示した実験の浸透度と、試算による浸透度を比較した圖である。これより、全般的な変化傾向は、ほぼ一致していると見てよい。特に透水係数の実測の正確値が求めにくいことと、試料の均一なセットが完全には出来にくいということを考慮すると、この程度の差はやむを得ないように思われる。なお、実測値については、 $t = 130\text{ 分}$ で、下流端からの流出が、始まつてゐるが、このように振動しておるのは、下端湛水面の表面張力の影響である。

5. あとがき 本研究で、土中空気の圧縮性を無視できる状態における不飽和浸透機構についての基本的な把握ができたので、今後、より現実に近い状態での不飽和浸透現象について検討していく予定である。

図5 実験($Sw_0 = 5\%$)と試算の浸透度の時間的変化の比較